

АЛГОРИТМЫ ПЛАНИРОВАНИЯ ФУНКЦИОНАЛЬНЫХ СОСТОЯНИЙ ОДНОРОДНОЙ  
ВЫЧИСЛИТЕЛЬНОЙ СИСТЕМЫ

Э.Г.Крылов, Н.Н.Миренков

Одной из задач диспетчера однородной вычислительной системы (OBC) [1] является планирование функциональных состояний, то есть разбиение на подсистемы и назначение подсистемам режимов работы [2]. Для идентификации функциональных состояний системы вводятся управляющие функции  $\Psi(i, j, t)$  и  $\xi(\tau(t), \mathcal{J}(t))$ , позволяющие задавать универсальную схему функционирования OBC в рамках возможностей, предоставляемых управляемыми связями:

$\Psi(i, j, t)$  определяет разбиение системы на подсистемы\*, причем  $\Psi(i, j, t) = 1$ , если  $i$ -я машина принадлежит  $j$ -й подсистеме в момент времени  $t$ , иначе  $\Psi(i, j, t) = 0$ ;  $1 \leq i \leq L$ ;  $L = \sum_{i,j} \Psi(i, j, t)$  – число машин в OBC,  $1 \leq j \leq \mathcal{J}(t) \leq L$ ;  $\mathcal{J}(t)$  – число подсистем в момент времени  $t$ ;

$\xi(\tau(t), \mathcal{J}(t))$  задает каждой подсистеме режимы работы на некотором промежутке времени  $[T_0, T_1]$ :

$$\xi(\tau(t), \mathcal{J}(t)) = \{\xi^1(\tau^1(t)), \xi^2(\tau^2(t)), \dots, \xi^{\mathcal{J}(t)}(\tau^{\mathcal{J}(t)}(t))\},$$

где  $\tau(t) = \{\tau^j(t)\}$ ,  $j=1, 2, \dots, \mathcal{J}(t)$ ; при этом  $\tau^j(t)$  принимает множество значений  $\{e_k^j(t) = t_{k+1}^j(t) - t_k^j(t)\}$ ,  $k=1, 2, \dots, M^j - 1$ ;

$\{t_k^j\}$  – множество точек, зависящих от времени и выбираемых на  $[T_0, T_1]$ ,  $t_0^j = T_0$ ,  $t_k^j < t_{k+1}^j$ ,  $t_{M^j}^j = T_1$ ;

\*). Подсистема – подмножество машин OBC, обеспечивающее реализацию заданных схем обмена [3].

$$\xi^j(\tau_k^j) = \begin{cases} 0, & \text{если } \tau_k^j = 0; \\ \sum_{h=1}^Y \varphi_h(\tau_k^j), & \text{если } \tau_k^j \neq 0; \end{cases}$$

$\varphi_h(\tau_k^j) = v_h \tau_k^j$ , если  $\left[\frac{k+Y-h}{Y}\right] = \frac{k+Y-h}{Y}$  ( $[x]$ - целая часть  $x$ ); иначе  $\varphi_h(\tau_k^j) = 0$ ;  $v_h$  - коэффициент (признак), определяющий  $h$ -й режим работы;  $Y$ - число различных режимов.

Таким образом, подсистема  $j$  работает в момент времени  $t \in [t_k^j, t_{k+1}^j]$  ( $t_k^j \neq t_{k+1}^j$ ) в режиме  $v_h$ , если  $\xi^j(\tau_k^j)/\tau_k^j = v_h$ .

Функционирование системы называется статическим, если оно задается управляющими функциями, не зависящими от времени; динамическим, если управляющие функции зависят от времени и зависимость известна в момент  $t \leq T_0$ ; стохастическим, если эта зависимость неизвестна (формируется под воздействием внешних условий, случайных факторов).

Управляющие функции в каждый момент времени представляются в оперативной памяти с помощью УФ-таблицы из  $L$  строк следующего вида:

H	K	U	АДРЕС	,
---	---	---	-------	---

где  $H$  и  $K$  - признаки машин с минимальным и максимальным относительными номерами в подсистеме, соответственно;  $U$  - признак режима, в котором работает подсистема; АДРЕС - номер строки УФ-таблицы, принадлежащий машине со следующим относительным номером в подсистеме, если признак  $K$  не отмечен, иначе АДРЕС есть номер стандартной программы (СП), определяющий режим-преемник и условия окончания текущего режима.

Зависимость УФ-таблицы от времени в некоторых случаях может полностью переноситься на указанные СП, что устанавливает следующее

**УТВЕРЖДЕНИЕ.** Динамическое функционирование системы может быть задано управляющими функциями, из которых  $\Psi(i, j, t) = \Psi(i, j, t')$  при  $t' \leq T_0$ , если соседние подсистемы [2], работающие в одном и том же режиме, рассматривать как одну подсистему суммарного ранга\*).

\*). Ранг - число ЭМ в подсистеме.

Действительно, пусть последовательность функциональных состояний системы задается функциями  $\Psi_i(i, j, t)$  и  $\xi_i(\tau_i(t), f(t))$ , реализующими в некоторый момент времени  $t^* \in [T_0, T_1]$  состояние  $F_1$ , при котором

$$\sum_{i=1}^L \Psi_i(i, j, t^*) = R_j \quad \text{и} \quad \sum_{j=1}^J R_j = L;$$

причем для каждой из подсистем выполняются равенства:

$$\xi_1(\tau_k^j(t^*))/\tau_k^j(t^*) = v_{\alpha_j}.$$

Для доказательства достаточно

1) задать в момент времени  $t \leq T_0$  функцию  $\Psi_2(i, m)$ , удовлетворяющую условию

$$\sum_{i=1}^L \Psi_2(i, m) = 1,$$

$$m = 1, 2, \dots, L;$$

2) для каждой из полученных подсистем выбрать свою функцию  $\xi_2^m(\tau(t))$ , у которой множество значений  $\{\tau_k^m\}$  совпадает с множеством значений  $\{\tau_k^j\}$  и  $\xi_2^m(\tau_k^m(t^*))/\tau_k^m(t^*) = v_{\alpha_j}$ , если машина  $m$  принадлежит  $j$ -й подсистеме состояния  $F_1$ .

**I. Задачи динамического функционирования.** Задать динамическое функционирование системы - значит определить для каждого момента времени разбиение системы на подсистемы и режимы работы для каждой из подсистем. В связи с этим диспетчеру\*) ОВС приходится решать ряд задач, типичные представители которых рассматриваются ниже.

В систему поступил набор заданий (задач)  $Z = \bigcup_{i=1}^N Z_i$ , известны ограничения на порядок их выполнения, ранги  $R_i$  и время  $t_i$ , необходимое для реализации каждого задания.

Требуется для решения поступившего набора выбрать размер подсистемы и для неё определить последовательность функциональ-

\*) Имеется в виду диспетчер в программном обеспечении общего назначения.

ных состояний, чтобы обеспечить одно (или оба) из следующих условий:

- максимальную загрузку машин подсистемы;
- реализацию набора в заданный промежуток времени.

Решению подобных задач посвящен ряд работ. В [4-6] они рассматриваются для случая  $R_i = 1$ ,  $t_i = 1$ ; в [7,8] для произвольных  $t_i$ , но одинаковых  $R_i$ , в [9,10] для произвольных  $R_i$  и  $t_i$ , но при отсутствии ограничений на порядок выполнения заданий. Здесь рассматривается решение задачи в более общей постановке.

Предполагается, что порядок реализации поступившего набора заданий определяется ориентированным графом без петель и циклов. Этот порядок специфицируется приоритетами заданий или реальными, например, технологическими процессами. Исходный граф, где каждому заданию соответствует вершина, преобразуется в граф, где с каждым заданием может связываться несколько вершин в зависимости от числа временных квантов, содержащихся в  $t_i$ . Алгоритм выбора эффективного размера временного кванта приводится в [9]. С каждой вершиной графа (рис. I) связывается ранг  $R$  соответствующего задания, порядковый номер (индекс при  $R$ ) и метка, определяющая уровень вершины, то есть наибольшее расстояние до конечной вершины (так как конечных вершин может быть несколько, то всегда вводится дополнительная фиктивная вершина с первым номером, нулевым уровнем и рангом, равным числу ЭМ в системе). Алгоритм присвоения указанных меток имеется в [4].

Две вершины графа считаются независимыми, если ни одна из них не предшествует другой.

**ОПРЕДЕЛЕНИЕ 1.** Максимальная совокупность попарно независимых между собой вершин называется набором ближайшего рассмотрения, если любое из заданий, соответствующих этим вершинам, может быть реализовано в данный момент.

**ОПРЕДЕЛЕНИЕ 2.** Пусть  $L$  – некоторое целое положительное число,  $R = \cup R_i$  – множество рангов, соответствующих набору ближайшего рассмотрения. Процесс выбора подмножества элементов  $R_s = \bigcup_{j=1}^s R_{i,j} \subset R$ , обеспечивающего минимум функции  $D(s) = L - f(s)$  при  $f(s) = \sum_{j=1}^s R_{i,j} \in L$ , называется упаковкой  $L$ -местного слоя.

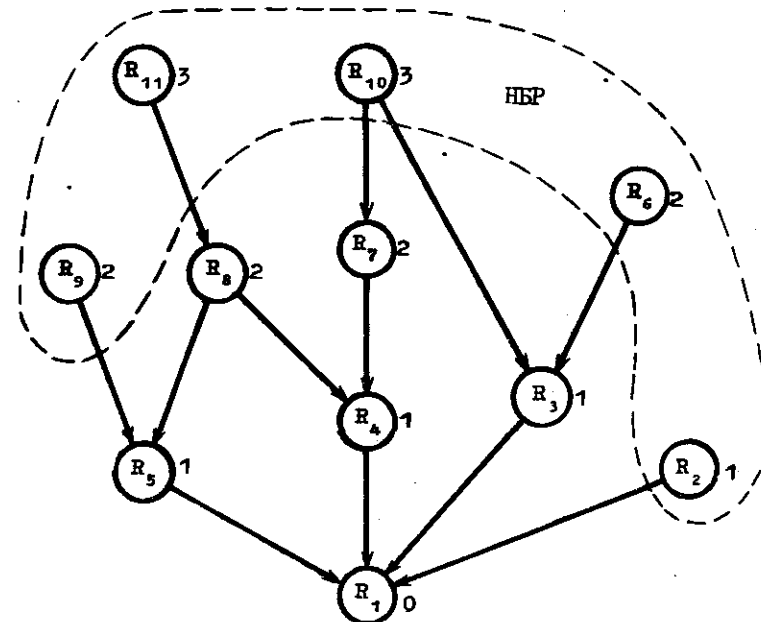
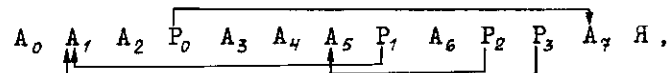


Рис. I

Решение поставленной задачи осуществляется применением для различных значений  $L$  следующего алгоритма



$A_0 = J := 0; B := 0; D := 0;$

$A_1 = \sigma := L; J := J+1; B := B + D;$

$A_2$  – выделяет вершины набора ближайшего рассмотрения;

$P_0$  – передает управление на  $A_7$ , если набор ближайшего рассмотрения содержит первую вершину;

$A_3$  – разбивает набор ближайшего рассмотрения на группы с одинаковыми уровнями, упорядочивает группы по убыванию уровней и присваивает группам убывающие номера;

$A_4 = \rho := m$  ( $m$  – число различных групп);

$A_5$  – реализует упаковку  $n$ -местного слоя, используя  $\rho$ -ю группу;

$P_1$  – передает управление на  $A_1$ , если  $D = 0$ ;

$A_6 = n - D$ ;  $\rho := \rho - 1$ ;

$P_2$  – передает управление на  $A_5$ , если  $\rho > 0$ ;

$P_3$  – безусловно передает управление на  $A_4$ ;

$A_7 = \mathcal{I} := \mathcal{I} - 1$ ;

$Y$  – оператор конца.

После выполнения алгоритма  $\alpha = \frac{B}{\mathcal{I} \cdot L}$  характеризует качество загрузки  $L$  машин в течение  $\mathcal{I}$  квантов времени, за которое решается заданный набор;  $B = \sum_i D_i$ ,  $i = 1, 2, \dots, \mathcal{I}$ .

При практической реализации алгоритма порядок выполнения поступивших задач, их уровни и ранги определялись матрицей  $A[i, j]$  ( $i, j = 1, 2, \dots, N+1$ , где  $N$  – число вершин, соответствующих реально существующим заданиям), в которой  $A[i, i] = R_i$ ,  $A[j, i] = -1$ , если  $i$ -я вершина предшествовала  $j$ -й, иначе  $A[j, i] = 0$ , за исключением  $A[1, j]$ , равной уровню вершины с номером  $j$ .

Выделение набора ближайшего рассмотрения сводилось к выявлению строк, элементы которых, за исключением диагональных, равнялись нулю. Строки и столбцы матрицы  $A[i, j]$  вычеркивались из рассмотрения, если соответствующие вершины оказывались упакованными.

Для работы с набором ближайшего рассмотрения организовывались три массива  $Q$ ,  $R$  и  $K$ . Первый содержал упорядоченные по убыванию уровни вершин, второй – ранги, упорядоченные для каждого уровня, третий – номера вершин, причем  $i$ -й элемент каждого массива соответствовал одной и той же вершине. (При назначении номеров вершинам с большими рангами при прочих равных условиях присваивались большие номера.)

Оператор упаковки  $A_5$  выполнялся в две стадии. На первой стадии из упорядоченного по убыванию множества рангов  $R^6 = \{R_1^6, R_2^6, \dots, R_R^6\}$ , соответствующих наибольшему уровню 6, слева подряд набиралось 5 элементов, до тех пор пока не выполнялось неравенство  $\sum_{i=1}^5 R_i^6 \geq n$ . В случае равенства процесс упаковки слоя считался законченным, в случае неравенства – последний выбранный элемент пропускался, а процесс подбора продолжался. После просмотра элементов множества  $R^6$  упаковка пе-

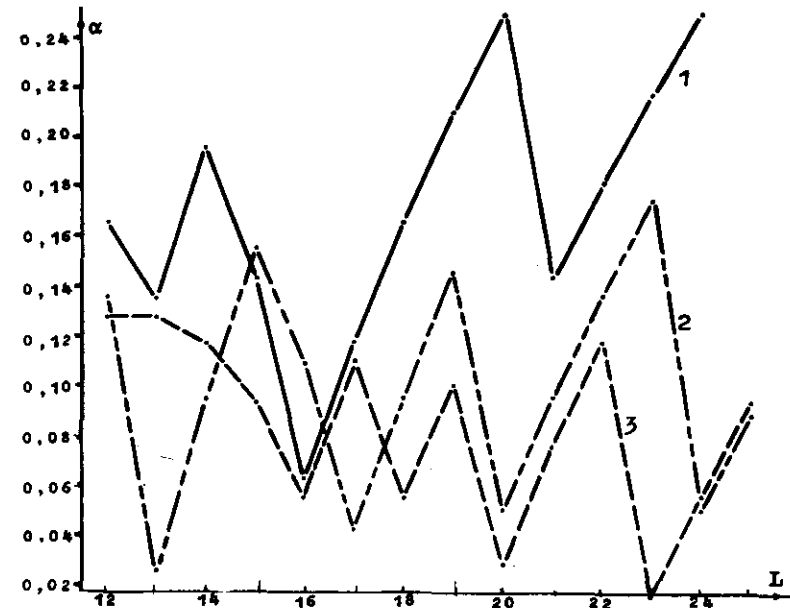


Рис. 2

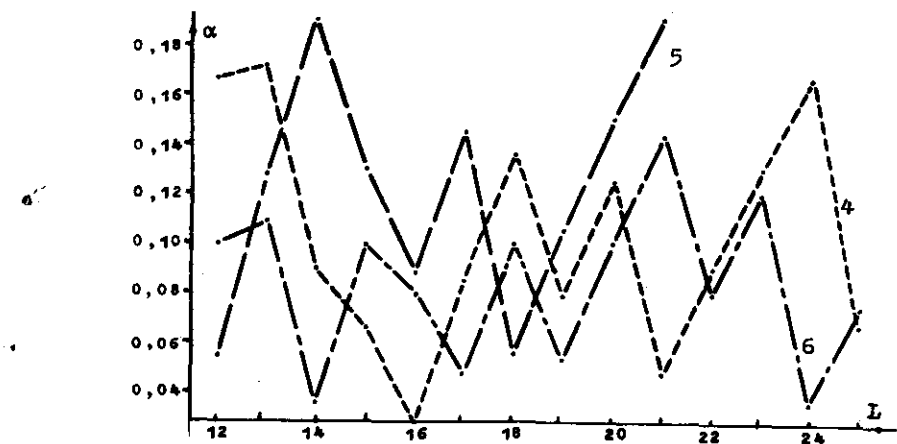


Рис. 3

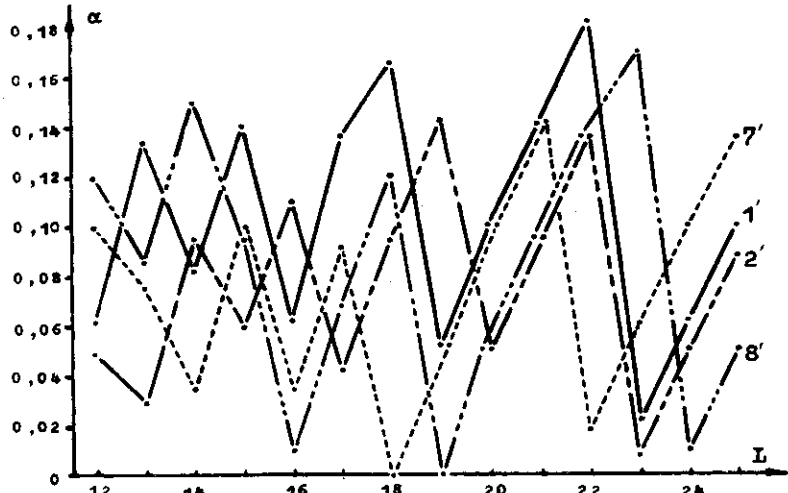


Рис. 4

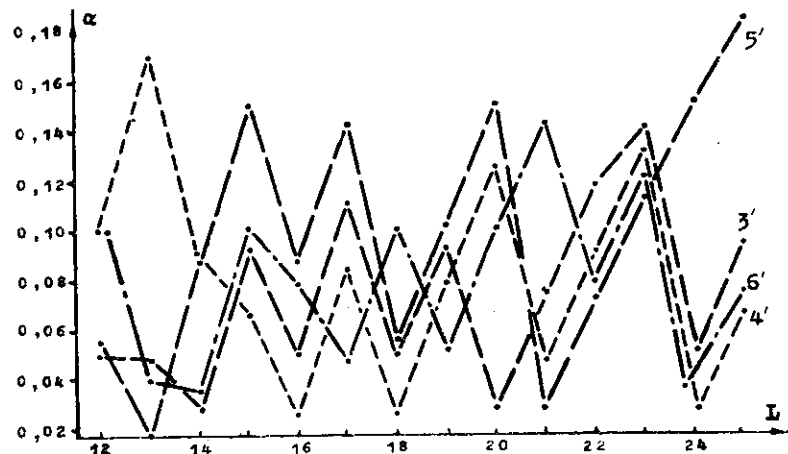


Рис. 5

рекодила во вторую стадию, если величина  $D = n - \sum_j^s R_{ij}^6$  (суммирование по элементам, попавшим в набор) была больше нуля. На второй стадии создавалась последовательность множеств, каждое из которых получалось исключением из множества  $\mathcal{R}^6$  элемента  $R_{ij}^6$ ,  $j = 2, 3, \dots, s$ , принадлежащего подмножеству  $\{R_{i_1}^6, R_{i_2}^6, \dots, R_{i_s}^6\}$ , выделенному для упаковки на первой стадии. Для каждого такого множества выполнялись действия первой стадии. Процесс упаковки заканчивался, если обнаруживался набор, при котором  $D = 0$ ; в противном случае проверялись все созданные множества и упакованным считался набор элементов с минимальным  $D$ .

Результаты численных экспериментов, основанных на статистическом моделировании работы рассмотренного алгоритма, представлены на рис. 2, 3 и табл. I – для 6 наборов с ограничениями порядка выполнения задач; на рис. 4, 5 и табл. 2 – для 8 наборов без ограничений. Число задач в наборах менялось от 16 до 32, максимальный ранг задач не превышал 10, время выполнения каждой задачи – один квант. Расписания составлялись для подсистем с числом ЭМ от 12 до 25, причем на каждом шаге регистрировалось число  $\alpha$  – качество загрузки подсистемы. Используя подобные результаты, можно выбрать размер подсистемы режима параллельной обработки, обеспечивая реализацию задач к нужному сроку с высокой загрузкой подсистемы.

Из экспериментов можно сделать следующий вывод. Для любых набора заданий и числа  $L$  машин всегда находится число  $L_0$ , такое что  $|L - L_0| \leq X$  (как правило,  $X \approx 2$ ), для которого предложенный алгоритм обеспечивает достаточную степень загрузки подсистемы, то естьварьирование числа  $L$  позволяет простому эвристическому алгоритму давать удовлетворительные для практики результаты.

**2. Задачи стохастического функционирования.** Задать стохастическое функционирование системы – значит определить СП УФ-таблицы, то есть правила преобразования структур ОВС при возникновении той или иной мультипрограммной ситуации. В качестве основных выделяются правила распознавания в подсистемах нужных структур [3], перевода машин из одного режима работы в другой [11], а также правила организации подсистем при обслуживании потока заданий.

Временные кванты, за которые реализуются наборы при различном числе  $L$  машин

Таблица 1

$L$	I2	I3	I4	I5	I6	I7	I8	I9	20	21	22	23	24	25
1	9	8	8	7	6	6	6	6	6	5	5	5	5	5
2	II	9	9	9	8	7	7	7	6	6	6	6	5	5
3	I3	I2	II	I0	9	9	8	8	7	7	7	6	6	6
4	I4	I3	II	I0	9	9	9	8	8	7	7	7	7	6
5	9	9	9	8	7	7	6	6	6	6	6	6	6	6
6	I5	I4	I2	I2	II	I0	I0	9	9	9	8	8	7	7

Таблица 2

$L$	I2	I3	I4	I5	I6	I7	I8	I9	20	21	22	23	24	25
1'	8	8	7	7	6	6	6	5	5	5	5	4	4	4
2'	IO	9	9	8	8	7	7	7	6	6	6	5	5	5
3'	I2	II	I0	I0	9	9	8	8	7	7	7	6	6	6
4'	I2	I2	II	I0	9	9	8	8	8	7	7	7	6	6
5'	9	8	8	8	7	7	6	6	6	5	5	5	5	5
6'	I5	I3	I2	I2	II	I0	I0	9	9	9	8	8	7	7
7'	IO	9	8	8	7	7	6	6	6	5	5	5	5	5
8'	9	8	8	7	6	6	6	5	5	5	5	5	4	4

Сложность работы с потоком заданий обусловливается как случным характером поступления заданий, так и случным временем их обслуживания. Задача состоит в том, чтобы определить стратегию оперативного, связанного с конкретной ситуацией, выбора размера подсистемы, обслуживающей параллельную обработку, и назначения последовательности функциональных состояний для этой подсистемы.

Предлагается следующая стратегия. В каждый момент времени в системе обычно существует набор заданий, известны их ранги, предполагаемое время выполнения, приоритеты (ограничения на порядок выполнения), а также максимальное время реализации (израсходовав которое задание снимается с обслуживания).

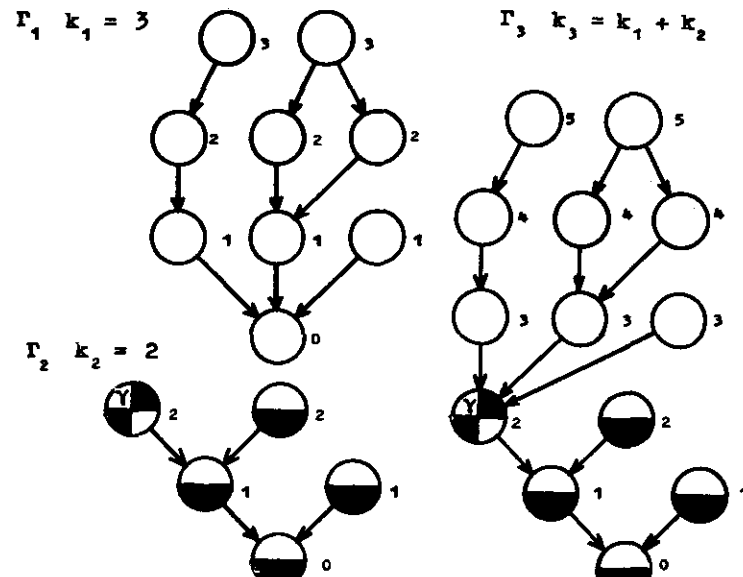


Рис. 6

Используя эти данные и алгоритмы из [9], выбирается размер  $\tau$  временного кванта, в течение которого не предполагается менять функциональное состояние системы.

На основании полученного значения  $\tau$  с помощью алгоритма, рассмотренного в предыдущем пункте, выбирается размер подсистемы и последовательность функциональных состояний.

Поскольку со временем ситуация изменяется в частности может появиться новый набор заданий, то необходима коррекция тактики обслуживания. Пересмотр расписания, определенного старым набором заданий, реализуется в следующих случаях:

1) если отсутствуют в старом наборе задания для загрузки некоторых подсистем до завершения временного кванта, что связано с несоответствием предполагаемого и фактического времени решения задач;

2) если имеются в очередном функциональном состоянии незагруженные подсистемы;

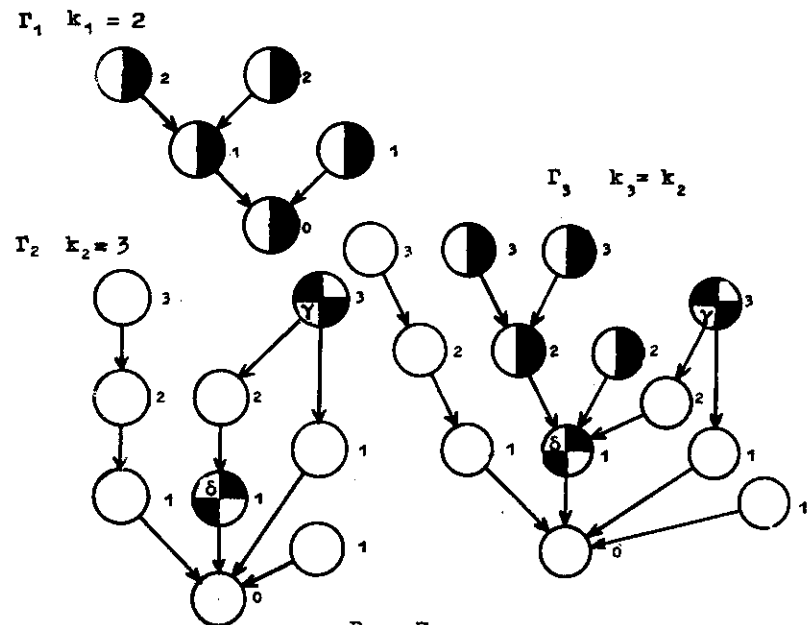


Рис. 7

3) если имеется в новом наборе задания с высоким приоритетом.

Пусть в одном из этих случаев остаток от старого набора заданий представляется графом  $\Gamma_1$ , а новый набор — графом  $\Gamma_2$  (рис. 6,7). При объединении этих графов для выработки новой тактики обслуживания выполняется следующее. В графах  $\Gamma_1$  и  $\Gamma_2$  определяются величины  $k_1$  и  $k_2$ , равные максимальным уровням вершин; в графе  $\Gamma_2$  из вершины с уровнем  $k_2$  выбирается вершина  $\gamma$  с максимальным рангом  $i$ , если  $k_1 < k_2$ , вершина  $\delta$  с уровнем  $k_2 - k_1$ , находящаяся на максимальном пути из  $\Gamma_1$ .

Объединение  $\Gamma_1$  и  $\Gamma_2$  в  $\Gamma_3$  выполняется совмещением конечной вершины  $\Gamma_1$  с вершиной  $r$  графа  $\Gamma_2$ , если  $k_1 > k_2$  (рис.6), иначе конечная вершина  $\Gamma_1$  совмещается с вершиной  $\delta$  графа  $\Gamma_2$  (рис.7). На основе полученного графа и упомянутых выше алгоритмов вырабатывается новая тактика обслуживания поступивших наборов заданий.

Отметим, что при практической реализации переход к новой тактике, связанный с неполной загрузкой, может выполняться не каждый раз, а только в случае недогрузки сверх допустимой нормы, причем в этом случае возможны прерывания текущего функционального состояния и переход к очередному состоянию, запланированному на основании старого набора задачий.

Типичные результаты численных экспериментов, выполненных с помощью специальной моделирующей программы, приведены на рис.8 и 9, первый из которых характеризует среднюю загрузку подсистемы потоками задач в зависимости от ранга подсистемы, второй — загрузку  $\alpha'$  подсистемы ранга  $L = 12$  в зависимости от  $\Delta t$  (числа машин, определяющего сегмент  $[L-\Delta L, L]$ , в пределах которого разрешено варьирование размера подсистемы). Максимальный ранг задач в приведенных экспериментах равнялся 6. Представлены пять потоков по 30 случайных наборов задач в каждом. Набор задач интерпретировался сетевым графом с числом вершин в графе от 20 до 50. Характеристики потоков приведены в табл. 3.

Т а б л и ц а 3

Номер потока	Шкала рангов в наборах	Наличие связей в наборах	Суммарное число вершин в потоке	Длительность реализации потока в квантах времени при $L = 12$
I	2,3,4,5,6	да	II23	399
2	2,3,4,5,6	нет	I078	372
3	2,3,5,6	да	I044	377
4	2,3,6	да	I085	375
5	2,6	да	II36	393

Из экспериментов можно сделать следующие выводы: 1) наилучшая загрузка подсистем получается при выполнении условия  $L \geq 2 \cdot R_{\max}$ , где  $L$  – размер подсистемы,  $R_{\max}$  – максимальный ранг задач в поступающих наборах; 2) основной эффект от динамического выбора размера подсистемы, реализующей поток задач, проявляется при  $4L \approx I + 2$ .

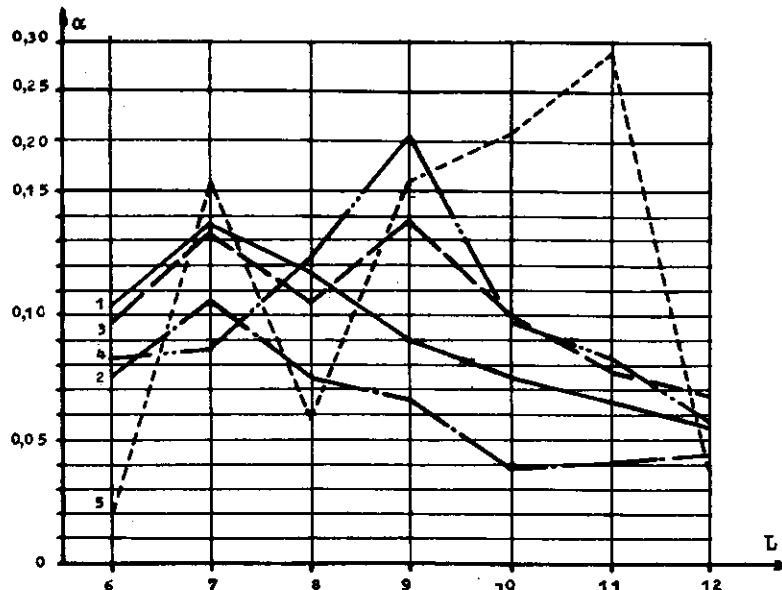


Рис. 8

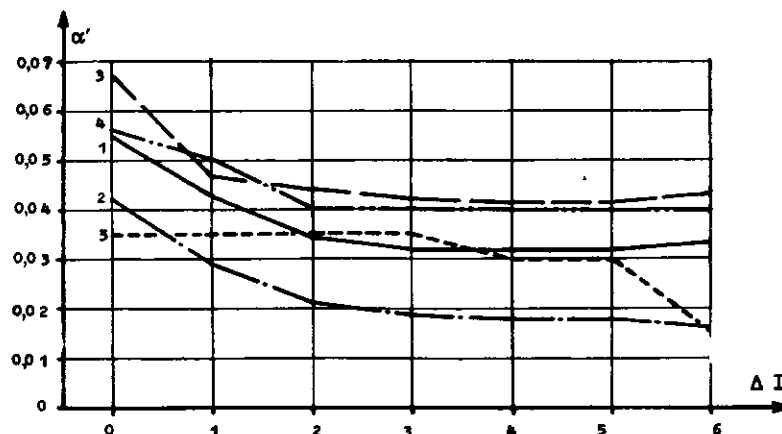


Рис. 9

Описанные алгоритмы планирования функциональных состояний ОВС позволяют с единых позиций оценивать мультипрограммную ситуацию и выбирать стратегию планирования как при обработке заданного набора, так и при обслуживании случайного потока задач.

Разработанные методы положены в основу управляющей программы, создаваемой для системы МИНИМАКС.

### Л и т е р а т у р а

1. ЕВРЕИНов Э.В., КОСАРЕВ Ю.Г. Однородные универсальные вычислительные системы высокой производительности. Новосибирск, "Наука", 1966.
2. МИРЕНКОВ Н.Н. Диспетчирование в однородных вычислительных системах. - В кн.: Материалы 3-й Всесоюзной конференции по однородным вычислительным системам и средам. Таганрог, 1972, с. 51-54.
3. МИРЕНКОВ Н.Н., ФИШЕРМАН С.Б. Алгоритмы распознавания подсистем заданных структур в ОВС. - Настоящий сборник, с. 44-53.
4. ХУ Т.С. Параллельное упорядочивание и проблемы линии сборки. - "Кибернетический сборник", 1967, № 4, с. II15-132.
5. КИКНАДЗЕ Д.Н. Метод анализа структуры параллельных алгоритмов, реализуемых на однородной вычислительной системе. - В кн.: Труды симпозиума "Вычислительные системы", Новосибирск, 1967, с. 89-96.
6. ВЕНКОВА Н.Б., ТУШКИНА Т.А., ШАХБАЗЯН К.В. О расписании, минимизирующем число процессов однородной вычислительной системы. - "Техническая кибернетика", 1971, № 5, с. II15-117.
7. БАРСКИЙ А.Б. Минимизация числа вычислителей при реализации вычислительного процесса в заданное время. - "Техническая кибернетика", 1968, № 6, с. 69-74.
8. RAMAMORTHY C.V., CHANDY K.M., GONZALEZ M.I. Optimal Scheduling Strategies in a Multiprocessor System. - "IEEE Trans. Computers", 1972, v.C-21, N 2, p. 137-146.
9. МИРЕНКОВ Н.Н. Алгоритмы планирования для диспетчера однородной вычислительной системы. - В кн.: Вычислительные системы. Вып. 42. Новосибирск, 1970, с. 34-46.
10. ХОРОШЕВСКИЙ В.Г., СЕДУХИНА Л.А. Стохастические алгоритмы функционирования однородных вычислительных систем. - В кн.: Вычислительные системы. Вып. 51. Новосибирск, 1972, с. 3-19.
11. КЕРБЕЛЬ В.Г., КОРНЕЕВ В.Д., МИРЕНКОВ Н.Н., ЩЕРБАКОВ Е.В. Управляющая программа системы МИНИМАКС. - В кн. Вычислительные системы. Вып. 60. Новосибирск, 1974, с. 129-143.

Поступила в ред.-изд. отд.  
9 июля 1973 года